

## ارزیابی رسب دهی پله‌ای بر ویژگی‌های شیمیایی، مولکولی و ضدآکسایشی فوکوئیدان جلبک قهوه‌ای

### *Nizamuddinia zanardinii*

معصومه قنبری کیاسرا<sup>۱</sup>، مهدی طبرسا<sup>۲\*</sup>، حسن احمدی گاویقی<sup>۳</sup>، امین مخلصی<sup>۴</sup>

- گروه زیست شناسی دریا، دانشکده علوم دریایی، دانشگاه تربیت مدرس، نور، ایران

- گروه فرآوری محصولات شیلاتی، دانشکده علوم دریایی، دانشگاه تربیت مدرس، نور، ایران

- گروه صنایع غذایی، دانشکده کشاورزی، دانشگاه تربیت مدرس، تهران، ایران

- مرکز تحقیقات زیست شناسی دارویی و زیست فناوری، دانشگاه هاینریش هاینه، دوسلدورف، آلمان

### نوع مقاله

#### مقاله پژوهشی اصیل

تاریخ دریافت: ۱۴۰۱/۰۵/۲۰

تاریخ پذیرش: ۱۴۰۱/۰۹/۱۵

تاریخ چاپ الکترونیکی: ۱۴۰۰/۰۹/۳۰

\*تویینده مسؤول:  
m.tabarsa@modares.ac.ir

### چکیده

هدف از مطالعه حاضر، ارزیابی رسب دهی پله‌ای فوکوئیدان استخراج شده از جلبک *Nizamuddinia zanardinii* و بررسی رابطه محتوای سولفات و وزن مولکولی با فعالیت ضدآکسایشی آن بود. پس از حذف رنگدانه‌ها و ترکیبات با وزن مولکولی پایین، فوکوئیدان استخراج شده با حلال آبی، در سه مرحله با سطوح متفاوت اتانول (۳۰، ۵۰ و ۷۰ درصد) رسب دهی شدند. سه فراکسیون Fuc70 و Fuc50 و Fuc30 به ترتیب با وزن مولکولی ۷۶/۶۲، ۷۳/۱/۶۲ و ۶۵/۵/۷۶ گرم/مول به دست آمدند. محتوای استرها سولفات در فراکسیون‌های به دست آمده بین ۶/۴۹-۲۵/۰۳ درصد اندازه‌گیری شد. سنجش رنگ فوکوئیدان‌های تولید شده توسط دستگاه رنگ-سنج دیجیتال حاکی از بیشترین شاخص سفیدی در فراکسیون Fuc50 بود. نتایج فعالیت ضدآکسایشی فراکسیون‌ها در مهار رادیکال آزاد DPPH (۴۳/۹۳ تا ۸۹/۴۰ درصد)، رادیکال ABTS (۰/۴۱ تا ۲۵/۰۵ درصد) و احیای یون Fe3+ (جذب ۰/۱۴۲ تا ۰/۲۵۹ درصد) متغیر بود. به طور کلی نتایج مطالعه حاضر نشان داد، رسب دهی پله‌ای فوکوئیدان گونه *N. zanardinii* منجر به تولید فراکسیون‌هایی با ترکیب مولکولی و شیمیایی و فعالیت ضدآکسایشی مختلف می‌شود. همچنین، اگرچه تمامی فراکسیون‌های فوکوئیدان استخراج شده به عنوان ترکیباتی واجد فعالیت ضدآکسایشی معروفی می‌شوند اما در مهار رادیکال آزاد ABTS و احیای یون Fe3+، پلیمرهای با وزن مولکولی بالاتر (Fuc30)، فعالیت ضدآکسایشی بیشتری را از خود نشان می‌دهند.

**کلید واژه‌ها:** فوکوئیدان، *Nizamuddinia zanardinii*، استخراج، وزن مولکولی، ضدآکسایشی

### مقدمه

استفاده از جلبک‌های دریایی در بسیاری از کشورها سابقه‌ای طولانی دارد، به ویژه در شرق آسیا جلبک‌های دریایی قرن‌هast در غذاهای محلی و به عنوان دارو استفاده می‌شوند. پژوهش‌های مختلف گزارش کرده‌اند که بروز بیماری‌های مزمن مانند بیماری قلبی، دیابت و سرطان در ژاپن و کره کمتر از کشورهای غربی است که ممکن است به تفاوت در سبک زندگی و رژیم غذایی نسبت داده شود [۱]. این امر منجر به آن شد که دانشمندان درباره ترکیبات مختلف موجود در جلبک‌ها و فعالیت زیستی آنها بیشتر مطالعه کنند، به طوری که در ۵۰ سال گذشته، بیش از ۳۰۰۰ ترکیب مشتق شده از جلبک‌ها معرفی شده است [۲].

از مهمترین ترکیبات موجود در جلبک‌های دریایی که توجه دانشمندان را به خود جلب کرده‌اند پلی‌ساقاریدها هستند. پلی‌ساقارید پلیمری از قندهای ساده می‌باشد که توسط پیوند گلیکوزیدی به هم متصل شده‌اند و از هیدرولیز آنها مونوساقاریدهای گلوكر، گالاكتوز، مانوز، فروکتورز، گریلوز، فوکوز و آرابینوز به دست می‌آید [۳، ۴]. معمولاً پلی‌ساقارید با توجه به نوع گونه جلبک بین ۴ تا ۷۶ درصد وزن خشک جلبک را شامل می‌شود [۵].

جلبک‌های قهقهه‌ای به سبب داشتن پلی‌ساقاریدهای نظیر آلرینات، لامینارین و فوکوئیدان گزینه مناسبی جهت مطالعه این ترکیبات هستند. در این میان جلبک *Nizamuddinia zanardinii* گونه‌ای مستعد از نظر فراوانی و سهولت در دسترسی می‌باشد که به طور گسترده در سواحل عمان به ویژه سواحل جنوب شرقی ایران پراکنده شده است و از نظر تغذیه‌ای به دلیل داشتن اسیدهای چرب (PUFA)، پروتئین و مواد معدنی بسیار ارزشمند است [۶]. طبق مطالعه‌ای که اخیراً صورت گرفته، فوکوئیدان خام و تخلیص شده از این جلبک قابلیت تحریک سیستم ایمنی انسان از طریق فعال‌سازی سلول‌های ماکروفاژ NK-92 و سلول‌های کشنده RAW264.7 با استفاده از مسیرهای سیگنالینگ MAPKs و NF-κB را دارا می‌باشد [۷].

فوکوئیدان‌ها نوعی پلی‌ساقارید سولفاته هستند که برای اولین بار در ۱۹۱۳ از دیواره سلولی جلبک‌های قهقهه‌ای جدا شده‌اند [۸]. این پلی‌ساقارید که از مولکول‌های L-فوكوز ساخته شده است، حدود ۵ تا ۲۰ درصد وزن خشک جلبک‌های قهقهه‌ای را تشکیل می‌دهد. طبق قوانین آیوپاک نام این پلی‌ساقارید فوکوئیدان است، اما نام‌های دیگر مورد استفاده از جمله: فوکوز، فوکان و فوکوزان سولفاته نیز گزارش شده است [۹]. بررسی‌ها نشان داده‌اند که ترکیب شیمیایی و ساختار فوکوئیدان‌ها می‌تواند بسیار متنوع باشد اما ساختمان اصلی فوکوئیدان‌ها شامل پیوندهای فوکوز و سولفات است و گاهی اوقات شامل گالاكتوز، مانوز، زایلوز و بورونیکا اسید است [۹]. در سال‌های اخیر پژوهش‌های بسیاری درباره خواص زیست‌فعال فوکوئیدان انجام شده است و موارد گسترده‌ای از جمله فعالیت‌های خداناًعقادی، ضد التهابی، ضد سرطانی، ضد باکتری، ضد قارچی، ضد ویروسی و ضداکسایشی از فوکوئیدان گزارش شده است [۱۰-۱۳]. در حال حاضر استفاده از فوکوئیدان در درمان بیماری‌ها همچنان بر روی مصرف فوکوئیدان خوراکی به عنوان یک مکمل در افزایش اثربخشی درمان‌های مرسوم و جلوگیری از عوارض جانبی آنها متتمرکز شده است. پژوهش‌های متعدد وجود دارد که نشان می‌دهند فوکوئیدان می‌تواند از رشد و تکثیر سلول‌های سلطانی جلوگیری کند و به نظر می‌رسد هیچ عارضه جانبی روی سلول‌های سالم ندارد در حالی که می‌تواند تأثیر قابل توجهی بر سرکوب بسیاری از انواع سلطان نشان دهد [۱۴-۱۵]. بنابراین، فوکوئیدان یک گزینه بسیار امیدوارکننده برای درمان بیماری‌ها به ویژه سرطان در آینده است [۱۶].

انواع رادیکال‌های آزاد در نتیجه واکنش‌های سوخت و ساز طبیعی سلول، بعد از بروز بیماری‌های التهابی، آلدگی‌های محیطی و برخی داروها تشکیل می‌شوند. اگر این رادیکال‌ها غیرفعال نشوند، با بسیاری از ترکیبات سلولی واکنش می‌دهند و ساختمان و عملکرد آنها را دچار اختلال کرده و در نتیجه باعث بروز بیماری‌هایی چون سلطان، بیماری‌های قلبی و پارکینسون می‌شوند [۱۷]. از آنجایی که برخی داروهای ضداکسیدان مصنوعی مشکلاتی از قبیل اثرات جانبی احتمالی، هزینه ساخت بالا و کارایی درمانی کمتر نسبت به ضداکسیدان‌های طبیعی دارند، شناسایی ضداکسیدان‌های طبیعی و کشف عوامل موثر بر این خاصیت اهمیت زیادی پیدا کرده است. در همین راستا، مطالعه حاضر در پی آن است تا با هدف معرفی یک ضداکسیدان طبیعی اقدام به ارزیابی فرآیند استخراج فوکوئیدان جلبک قهقهه‌ای *N. zanardinii* و بررسی ارتباط احتمالی ساختار شیمیایی و مولکولی با فعالیت ضداکسیدانی نماید. تاکنون روش‌های استخراج مختلفی اعم از روش‌های سنتی و مدرن به منظور استخراج پلی‌ساقاریدهای سولفاته و سنجش فعالیت زیستی یا ویژگی‌های شیمیایی آنها مورد بررسی قرار گرفته‌اند که هر کدام فعالیت زیستی مختلفی را از فوکوئیدان استخراج شده گزارش نموده‌اند [۱۸-۲۱]. روش استخراج استفاده شده در مطالعه حاضر به عنوان یکی از روش‌های استخراج ساده و در دسترس مورد استفاده قرار گرفته است و در عین حال به علت استفاده چند مرحله‌ای از غلظت‌های مختلف اتابول، فرایندی نوین و غیرتکراری در استخراج فوکوئیدان گونه *N. zanardinii* محسوب می‌شود. همچنین از مزایای این روش استخراج، سهولت انجام کار و کم هزینه بودن فرایند استخراج است که این امر می‌تواند برای به کارگیری در مقیاس صنعتی جالب توجه باشد.

## مواد و روش‌ها

### تهییه و آماده سازی نمونه

جلبک قبه‌های *N. zanardinii* در فصل پاییز، از سواحل دریای عمان منطقه چابهار و در زمان جزر کامل به صورت دستی جمع‌آوری شد و پس از شستشو، در آون با دمای ۶۰ درجه سانتی‌گراد به مدت ۹۶ ساعت قرار گرفت. سپس نمونه خشک شده توسط آسیاب برقی پودر شده و پس از الک شدن، با ترازوی دیجیتال توزین شد. در نهایت درون کیسه‌های پلاستیکی در دمای ۲۰ درجه سانتی‌گراد نگهداری شد [۲۲].

### استخراج فوکوئیدان

ابتدا ۵۰ گرم پودر خشک جلبک به نسبت ۱ به ۲۰ با اتانول (۸۵٪) به مدت ۴ ساعت در دمای اتاق قرار گرفت تا رنگدانه‌ها، ترکیبات ثانویه و چربی‌ها از نمونه جلبکی حذف شوند. بعد از گذشت این زمان، به وسیله سانتریفیوژ (UNIVERSAL 320 R, Hettich, Germany, rpm), ۸۰۰۰ دقیقه، ۱۰ درجه سانتی‌گراد، فاز مایع جدا شده و این عمل تا زمان بی‌رنگ شدن اتانول اضافی تکرار شد. سپس فاز جامد به منظور خشک شدن، در چندین نوبت با اتانول و استون شستشو شد. برای استخراج پلی‌ساقاریدهای فوکوئیدان، ۲۰ گرم از نمونه جلبک رنگبری شده با آب مقطّر مخلوط و به مدت ۲ ساعت در دمای ۶۰ درجه سانتی‌گراد قرار گرفت. سپس مجدداً سانتریفیوژ (Heidolph, Germany, model Fuc30) (۱۰ دقیقه، ۸۰۰۰ rpm) تغليظ شد. سپس، سانتی‌گراد) انجام شد و پس از جمع‌آوری رسوب، فاز مایع جدا شده توسط دستگاه روتاری (TGA) (TGA 400 Chroma Meter, Minolta, Japan) به مایع تغليظ شده افزوده شد و ۲ ساعت در دمای اتاق قرار گرفت. در ادامه، سانتریفیوژ انجام شد و به این پودر کلسیم کلراید ۱٪ (وزن/حجم) اضافه شد. در نهایت، به فاز مایع باقیمانده، اتانول ۹۶٪ تا رسیدن به غلظت نهایی ۳۰٪ افزوده شد و نخستین فراکسیون فوکوئیدان در این مرحله طی سانتریفیوژ جadasازی و استخراج گردید (Fuc30). سپس، دو مرحله رسوب‌دهی متوالی دیگر به همین شکل تا رسیدن به غلظت نهایی ۵۰٪ و ۷۰٪ اثانول ادامه یافت و بازیابی فوکوئیدان‌های استخراج شده به صورت پله‌ای انجام شد. بازده استخراج فوکوئیدان مطابق فرمول زیر محاسبه گردید: [۷]

$$\text{بازده} (\%) = \frac{\text{گرم جلبک استفاده شده}}{\text{گرم پلی‌ساقارید}} \times 100$$

### ارزیابی ویژگی‌های رنگی فوکوئیدان

جهت تعیین رنگ نمونه‌های پلی‌ساقاریدی با استفاده از دستگاه رنگ‌سنج دیجیتالی هانترلب (CR-400 Chroma Meter, Minolta, Japan) مقادیر جزء روشنابی L از صفر تا ۱۰۰، جزء رنگی a واجد طیف رنگی سبز تا قرمز از -۱۲۰ تا +۱۲۰ و جزء رنگی b واجد طیف رنگی آبی تا زرد از -۱۲۰ تا +۱۲۰ تعیین شدند.

### سنجهش میزان سولفات

به این منظور، نمونه‌های فوکوئیدان در غلظت ۳ میلی‌گرم بر میلی‌لیتر در ویال‌های شیشه‌ای آماده شد. پس از افزودن ۳ میلی‌لیتر از محلول ۰/۵ مولار اسید هیدروکلریک به هر نمونه، نمونه‌ها به مدت ۵ ساعت در آونی با دمای ۱۰۵ درجه سانتی‌گراد قرار گرفت. بعد از گذشت این زمان، ۳/۸ میلی‌لیتر TCA (۰/۳٪) با ۰/۲ میلی‌لیتر از هر نمونه ترکیب و ۱ میلی‌لیتر ژلاتین-کلرید باریوم به آن اضافه شد و به مدت ۲۰ دقیقه در دمای اتاق قرار گرفت. سرانجام جذب نمونه در ۳۶۰ نانومتر توسط دستگاه اسپکتروفوتومتر خوانده شد. به منظور رسم منحنی استاندارد نیز از نمک سولفات پتاسیم استفاده شد [۲۴].

### ارزیابی پراکنش مولکولی

در ابتدا نمونه فوکوئیدان در آب مقطّر (۲ میلی‌گرم / میلی‌لیتر) حل شده و به مدت ۱۵ دقیقه در دمای جوش حرارت داده شد. سپس نمونه‌ها به وسیله یک غشای سلولزی فیلتر شدند. به منظور تجزیه و تحلیل ویژگی‌های مولکولی از سیستم آشکار کننده ضریب شکست (UHPLC, Dionex UltiMate 3000, Thermo Scientific) متصل به سیستم کروماتوگرافی با کارابی بالا (RefractoMax 521, Thermo Scientific) (TSK G5000 PW, Toso Biosep, Montgomeryville, PA, US) استفاده شد. همچنین از فاز متحرکی، با سرعت جریان ۱ میلی‌لیتر / دقیقه و یک محلول آبی متشکل از ۰/۱۵ مولار  $\text{NaNO}_3$  و ۰/۲۰ درصد  $\text{NaN}_3$  استفاده شد [۲۵].

### قدرت مهارکنندگی رادیکال‌های آزاد DPPH

بررسی میزان فعالیت ضداسیدانی فوکوئیدان با استفاده از رادیکال‌های ناپایدار ۲ و ۲-دی‌فینیل-۱-پیکریل هیدرازیل (DPPH) انجام شد. ابتدا ۱۰۰ میکرولیتر از غلظت‌های مختلف پلی‌ساکارید (۱-۲۵ میلی‌گرم / میلی‌لیتر) با ۱۰۰ میکرولیتر از محلول متانولی ۶٪ / ۰ میلی‌مولار رادیکال آزاد DPPH ترکیب شده و به مدت ۳۰ دقیقه در دمای محیط قرار گرفت تا رنگ آن تغییر کند. سپس جذب محلول با استفاده از اسپکتروفوتومتر و در طول موج ۵۱۷ نانومتر خوانده شد. به منظور مقایسه نتایج، از اسید آسکوربیک به عنوان کنترل مثبت استفاده شد. درصد مهارکنندگی رادیکال‌های آزاد DPPH مطابق فرمول زیر محاسبه گردید: [۲۶، ۲۷]

$$\frac{(A - As)}{A} \times 100 = \text{درصد فعالیت خنثی کنندگی رادیکال آزاد}$$

که A جذب کنترل (۱۰۰ میکرولیتر اتانول با ۱۰۰ میکرولیتر محلول DPPH) و As جذب نمونه می‌باشد.

### قدرت مهارکنندگی رادیکال آزاد ABTS

ابتدا ۷ میکرولیتر ABTS در آب مقطر حل و با اتانول رقیق شده، تا جذب آن به میزان ۷٪ / ۰ در ۷۳۴ نانومتر برسد. سپس ۱ میلی‌لیتر از غلظت‌های مختلف پلی‌ساکارید (۱-۲۵ میلی‌گرم / میلی‌لیتر) به ۱ میلی‌لیتر از محلول ABTS اضافه شد. محلول به مدت ۲۰ دقیقه در محیط فاقد نور و در دمای اتاق نگهداری شد. در نهایت جذب محلول در طول موج ۷۳۴ نانومتر در دستگاه اسپکتروفوتومتر خوانده شد. به منظور مقایسه نتایج، از اسید آسکوربیک به عنوان کنترل مثبت استفاده شد [۲۸]. درصد مهارکنندگی رادیکال‌های آزاد ABTS مطابق فرمول زیر محاسبه گردید:

$$\frac{(A - As)}{A} \times 100 = \text{درصد فعالیت خنثی کنندگی رادیکال آزاد}$$

که A جذب کنترل (۱۰۰ میکرولیتر اتانول با ۱۰۰ میکرولیتر محلول ABTS) و As جذب نمونه می‌باشد.

### قدرت کاهنده‌ی بون آهن (Reducing power)

قدرت کاهنده‌ی بون آهن با استفاده از روش Oyaizu اندازه‌گیری شد [۲۹]. بدین منظور، ۵۰۰ میکرولیتر از نمونه با غلظت‌های ۰٪ / ۲۵ تا ۱٪ / ۰ میلی‌گرم / میلی‌لیتر با ۵۰ میکرولیتر بافر فسفات پتاسیم ۲٪ / مولار، pH ۶/۶ و ۵۰۰ میکرولیتر از فری سیانات پتاسیم ۱٪ / ترکیب شد. نمونه‌ها به مدت ۲۰ دقیقه و در دمای ۵۰ درجه سانتی‌گراد نگهداری شدند. پس از افزودن ۵۰۰ میکرولیتر از TCA (۱۰٪)، مخلوط حاضر به مدت ۱۰ دقیقه سانتریفیوز (۱۰۰۰ rpm) شد. سپس ۱ میلی‌لیتر آب مقطر و ۲۰۰ میکرولیتر کلرید آهن ۱٪ / ۰، به مدت ۱۰ دقیقه در ۲۵ درجه سانتی‌گراد نگهداری شده و در نهایت جذب در ۷۰۰ نانومتر خوانده شد. از اسید آسکوربیک به عنوان کنترل مثبت استفاده شد.

### تجزیه و تحلیل آماری

به منظور تجزیه و تحلیل آماری داده‌های آزمایش، ابتدا نرمال بودن داده‌ها مورد بررسی قرار گرفت. سپس به کمک تحلیل واریانس یک‌طرفه، تاثیر غلظت‌های متفاوت فوکوئیدان بر فعالیت زیستی بررسی شده و در صورت معنی‌دار بودن، جهت مقایسه میانگین‌ها و انتخاب بهترین غلظت، از آزمون Duncan استفاده شد. تجزیه و تحلیل آماری داده‌ها با استفاده از نرم افزار SPSS و به منظور رسم نمودارها و گراف‌ها از نرم افزار Sigmaplot استفاده شد.

### نتایج

#### بازده استخراج و محتواهی سولفات فوکوئیدان

همان طور که در جدول ۱ نشان داده شده است، بازده استخراج فراکسیون های فوکوئیدان جدا شده از *N. zanardinii* متفاوت و به ترتیب ۵/۳۳ درصد در Fuc30 و ۱/۵۴ درصد در Fuc50 بود. اندازه گیری میزان سولفات نشان داد که محتوای استرها سولفات بین ۲۵/۰۳ و ۶/۴۹ متفاوت باشد. درصد متعلق به فوکوئیدان های با وزن مولکولی متوسط (Fuc50) بود. این در حالی است که بزرگترین پلیمرهای فوکوئیدان (Fuc30) با ۶/۴۹ درصد از کمترین میزان سولفات برخوردار بودند.

جدول ۱. بازده استخراج و محتوای سولفات فراکسیون های فوکوئیدان به دست آمده از جلبک قهوه ای *N. zanardinii*

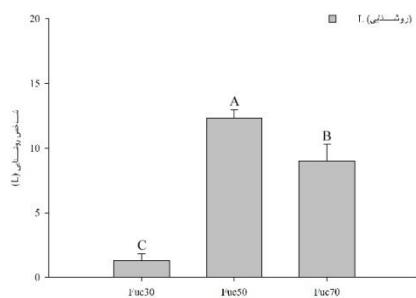
فراکسیون های فوکوئیدان	بازده (درصد)	سولفات (درصد)
Fuc30	5.33	<b>6.49 ± 1.54</b>
Fuc50	2.70	<b>25.03 ± 1.16</b>
Fuc70	1.54	<b>14.92 ± 0.93</b>

(الف)

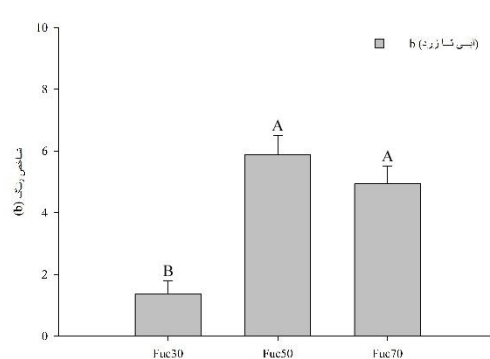
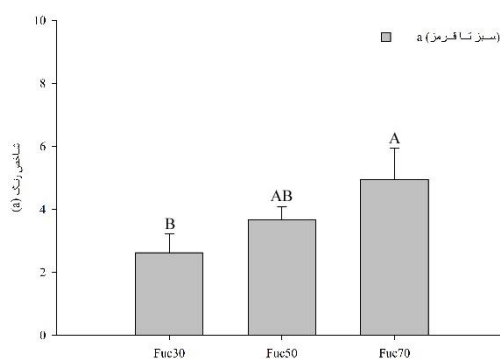


(ج)

(ب)



(د)



شکل ۱ - (الف) فراکسیون های فوکوئیدان استخراج شده از جلبک قهوه ای *N.zanardinii*. (ب) نمودار شاخص روشنایی (L) در فراکسیون های مختلف فوکوئیدان (Fuc). (ج) نمودار شاخص رنگ سبز تا قرمز (a) در فراکسیون های مختلف فوکوئیدان (Fuc). (د) نمودار شاخص رنگ آبی تا زرد (b) در فراکسیون های مختلف فوکوئیدان (Fuc). حروف بزرگ نشانگر وجود اختلاف معنادار برونو گروهی در فراکسیون های مختلف فوکوئیدان است ( $p < 0.05$ ).

## سنجهش رنگ

تصاویر فوکوئیدان‌های استخراج شده در مطالعه حاضر در شکل (۱، الف) نشان داده شده است. همچنین، ویژگی‌های روشنایی و رنگ سه فراکسیون مختلف فوکوئیدان نیز مورد بررسی قرار گرفتند که نتایج آن در اشکال (۱، ب) تا (۱، د) نمایش داده شده است. از بین سه فراکسیون حاضر بیشترین روشنایی و بیشترین زردی مربوط به فراکسیون Fuc50 بود ( $p < 0.05$ ). این در حالی است که فراکسیون Fuc30 دارای رنگی تیره‌تر و در نتیجه پایین‌ترین میزان روشنایی بود ( $p < 0.05$ ). مثبت بودن شاخص  $a$  و  $b$  در تمامی فراکسیون‌ها نشان دهنده این است که طیف رنگی سبز یا آبی در هیچ یک از نمونه‌ها مشاهده نشده است.

## پراکنش و وزن مولکولی فوکوئیدان

شکل ۲ نمودار شویش فوکوئیدان‌های مختلف بر روی ستون کروماتوگرافی TSK G5000 PW را نشان می‌دهد که حاکی از متفاوت بودن پراکنش وزن مولکولی در پلیمرهای مختلف می‌باشد. همانطور که نمودار شویش Fuc30 نشان می‌دهد، مولکول‌های بزرگتر فوکوئیدان (Fuc30) از دقیقه  $13\frac{1}{4}$  شروع به خروج از ستون کروماتوگرافی نمودند و هرچه غلظت اتانول در طی فرایند بازیابی افزایش یافت، نقطه شروع شویش‌ها نیز به تأخیر افتاد. سپس، نمودار به سمت زمان‌های بالاتر تغییر جهت داده، به طوری که کوچکترین مولکول‌ها (Fuc70) در دقیقه  $19\frac{1}{6}$  از ستون خارج شدند. به بیان بهتر، تغییرات قابل توجهی در نمودار شویش انواع فراکسیون‌ها مشاهد شد و کوچکتر شدن اندازه پلیمرها در فراکسیون‌های با غلظت بالاتر اتانول کاملاً مشهود بود. به طور کلی در ستون کروماتوگرافی اندازه طردی (SEC) یا ژل تراوashi (GPC) جداسازی مولکولی بر اساس اندازه صورت می‌گیرد و مولکول‌های با اندازه بزرگتر ابتدا و مولکول‌های با اندازه کوچکتر با تأخیر از ستون خارج می‌شوند. نتایج اندازه‌گیری نیز نشان داد که وزن مولکولی فوکوئیدان‌ها از  $731.626 \times 10^3$  گرم/mol در Fuc30، به  $655.769 \times 10^3$  گرم/mol در Fuc50 و  $10.411 \times 10^3$  گرم/mol در Fuc70 تغییر یافته.

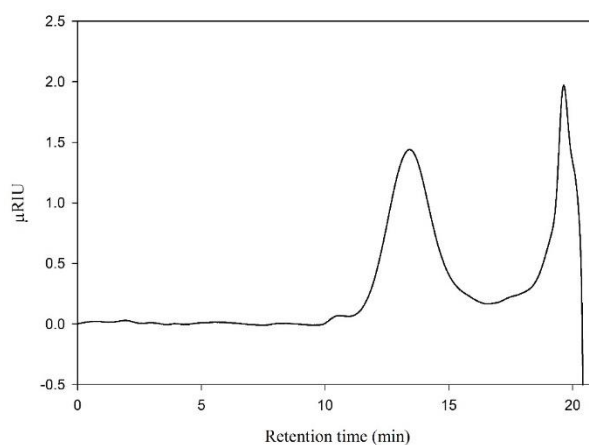
جدول ۲. وزن مولکولی فراکسیون‌های فوکوئیدان به دست آمده از جلبک قهوه‌ای *N. zanardinii*

فراکسیون‌های فوکوئیدان	وزن مولکولی ( $\times 10^{-3}$ g/mol)	
	۱	۲
Fuc30	$731.626 \pm 12.585$	-
Fuc50	$655.769 \pm 12.784$	<b><math>88.754 \pm 5.087</math></b>
Fuc70	$10.411 \pm 0.101$	-

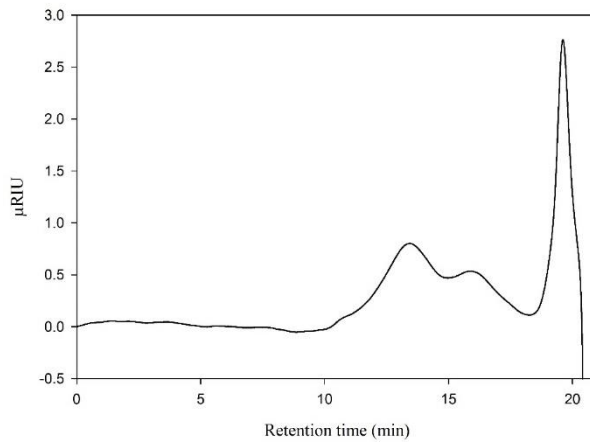
<sup>1</sup> - Size Exclusion chromatography

<sup>2</sup> - Gel permeation chromatography

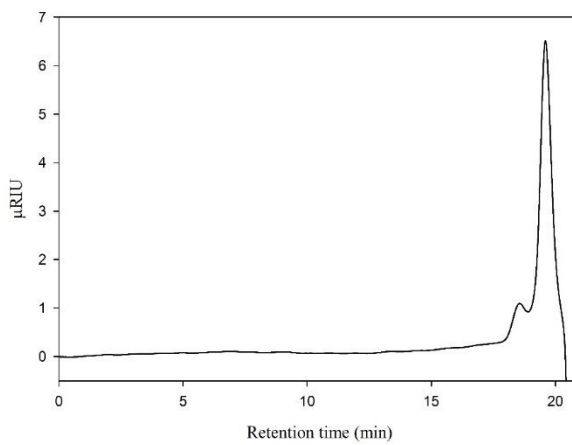
(الف)



(ب)



(ج)



شکل ۲. (الف) نمودار شویش Fuc30 بر روی ستون TSK G5000PW .(ب) نمودار شویش Fuc50 بر روی ستون TSK G5000PW  
(ج) نمودار شویش Fuc70 بر روی ستون TSK G5000PW

### قدرت مهارکنندگی رادیکال آزاد DPPH

قدرت مهارکنندگی رادیکال آزاد DPPH توسط فراکسیون‌های مختلف فوکوئیدانی در شکل (۳، الف) نشان داده شده است. بررسی مهار رادیکال-های آزاد در فراکسیون‌های مختلف نشان داد که غلظت ۱ میلی‌گرم / میلی‌لیتر دارای بالاترین اثر ضداکسیدانی بوده است ( $p < 0.05$ ). همچنین میزان مهار رادیکال آزاد به طور کلی وابسته به غلظت بود و بین افزایش غلظت با درصد مهارکنندگی ارتباط مستقیمی وجود داشت. فراکسیون تولید شده با ا atanول ۷۰ درصد در غلظت ۱ میلی‌گرم / میلی‌لیتر نسبت به سایر فراکسیون‌ها قابلیت مهارکنندگی بیشتری (۸۹/۴۰ درصد) نشان داد ( $p < 0.05$ ). پایین‌ترین میزان (۴۳/۹۳ درصد) مهار رادیکال آزاد نیز متعلق به غلظت ۲۵ میلی‌گرم / میلی‌لیتر در همین فراکسیون بود ( $p < 0.05$ ). میزان مهار رادیکال آزاد DPPH توسط اسید آسکوربیک در غلظت ۱۰ میلی‌گرم / میلی‌لیتر ۷۱/۰۹ درصد بود.

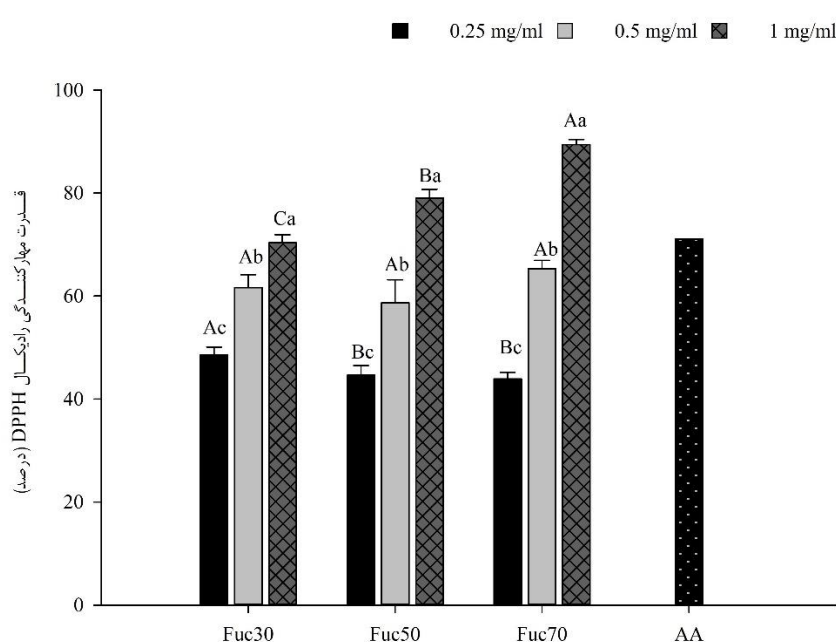
### قدرت مهارکنندگی رادیکال آزاد ABTS

همانطور که در شکل (۳، ب) مشاهده می‌شود، در تمامی فراکسیون‌های به دست آمده با افزایش غلظت فعالیت مهارکنندگی رادیکال آزاد ABTS نیز افزایش یافته است. قدرت مهارکنندگی فراکسیون‌ها در محدوده ۱۰/۰-۹۶/۰ درصد سنجش شد. با توجه به نتایج به دست آمده مشابه DPPH، غلظت ۱ میلی‌گرم / میلی‌لیتر در تمامی فراکسیون‌ها دارای بالاترین اثر ضداکسیدانی بوده است. بالاترین اثر مهارکنندگی (۹۶/۱۰) مربوط به غلظت ۱ میلی‌گرم / میلی‌لیتر فراکسیون Fuc30 و کمترین میزان (۲۵/۰۵) مربوط به غلظت ۲۵ میلی‌گرم / میلی‌لیتر فراکسیون Fuc50 بود ( $p < 0.05$ ).

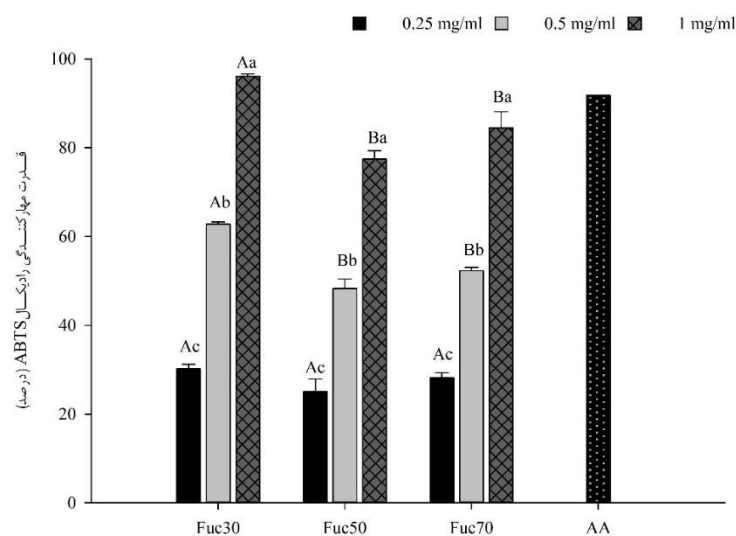
### قدرت کاهنده‌ی یون آهن

همانطور که در شکل (۳، ج) مشاهده می‌شود پتانسیل کاهنده‌ی یون  $\text{Fe}^{3+}$  در تمامی فراکسیون‌های فوکوئیدان با افزایش غلظت اندکی افزایش یافته است ( $p < 0.05$ ). غلظت ۱۰ میلی‌گرم / میلی‌لیتر در همه تیمارها دارای بالاترین اثر کاهنده‌ی یون  $\text{Fe}^{3+}$  بوده است. در بین فراکسیون‌های مختلف تفاوت معنی‌داری از نظر قابلیت کاهش یون  $\text{Fe}^{3+}$  مشاهده نشد ( $p < 0.05$ ). استفاده از اسید آسکوربیک در غلظت ۱۰ میلی‌گرم / میلی‌لیتر نیز در مقایسه با پلی‌ساقاریدهای مورد مطالعه بیشترین میزان کاهنده‌ی آهن را نشان داد.

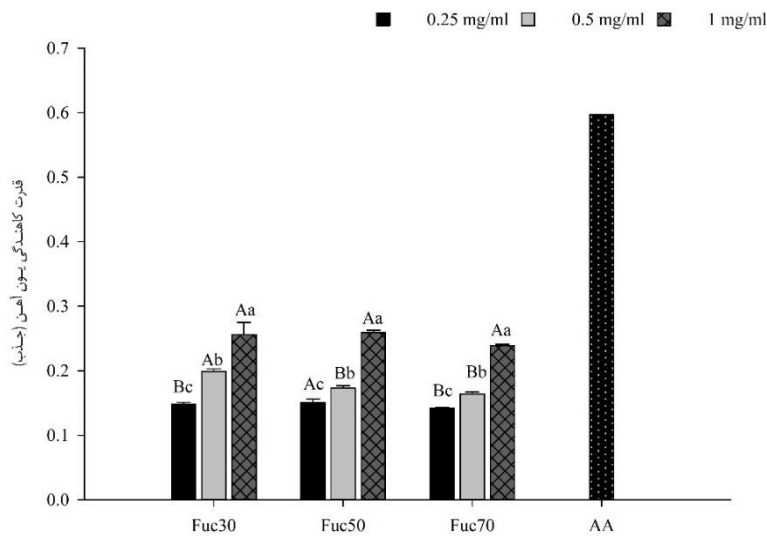
(الف)



(ب)



(ج)



شکل ۳- (الف) قدرت مهارکنندگی رادیکال آزاد DPPH توسط فراکسیون‌های مختلف فوکوئیدان (Fuc). (ب) قدرت مهارکنندگی رادیکال آزاد ABTS توسط فراکسیون‌های مختلف فوکوئیدان (Fuc). (ج) قدرت کاهندگی یون آهن توسط فراکسیون‌های مختلف فوکوئیدان (Fuc).

حروف بزرگ نشانگر وجود اختلاف معنادار بین گروهی هر غلظت در فراکسیون‌های مختلف فوکوئیدان است ( $p < 0.05$ ).

حروف کوچک نشانگر اختلاف معنادار درون گروهی بین غلظت‌های مختلف در هر فراکسیون فوکوئیدان است ( $p < 0.05$ ).

اسید آسكوربیک (AA) با غلظت ۱٪ میلی‌گرم / میلی‌لیتر به عنوان کنترل مثبت در نظر گرفته شد.

## بحث

در مطالعه فوکوئیدان جلبک‌های قهوه‌ای شاهد عوامل تاثیرگذار بسیاری بر میزان بازده استخراج و ویژگی‌های ترکیب شیمیایی آن هستیم. از جمله این عوامل می‌توان به روش استخراج، نوع گونه جلبکی، شرایط رشد جلبک و فصل برداشت اشاره کرد [۳۰]. در پژوهش حاضر که بر روی جلبک *N. zanardinii* انجام شد، بازده استخراج فوکوئیدان بین ۱/۵۴ تا ۱/۳۳ درصد متغیر بود که این اعداد مشابه در صدھایی است که قبل از فوکوئیدان جلبک‌های *Laminaria japonica* (۱/۸ درصد)، *Cystoseira indica* (۵/۷ درصد) گزارش شده است [۳۱، ۳۲]. نتایج مرتبط با رسوب‌دهی پلهای در غلظت‌های مختلف اثanol بیانگر آن بود که فوکوئیدان استخراج شده توسط حلال آبی از گونه *N. zanardinii* بیشتر حاوی پلیمرهایی با وزن‌های مولکولی بالاتر می‌باشد، به طوری که بازده آن از مجموع بازده دو سطح دیگر بیشتر بود. این در حالی است که وزن‌های مولکولی پایین‌تر همان گونه که انتظار می‌رفت در غلظت‌های بالاتر اثanol رسوب نمودند که البته میزان آن نیز نسبتاً پایین‌تر بود. در مطالعه دیگری که روی جلبک *N. zanardinii* انجام شد بازده استخراج فوکوئیدان با روش‌های مختلف در محدوده ۶/۳ تا ۱۳/۱۵ درصد متغیر بود [۳۳]. تصاویر پودر فوکوئیدان‌هایی به همراه نتایج ارزیابی رنگ نیز به وضوح نشان می‌دهد که علیرغم انجام فرآیند رنگ‌بری، همچنان رنگدانه‌هایی همراه با حلال آبی استخراج می‌شوند که با فوکوئیدان‌هایی با وزن مولکولی بالاتر رسوب می‌نمایند و به احتمال زیاد با یکدیگر دارای پیوندهایی در سطح مولکولی می‌باشند که این فرضیه نیازمند تحقیقات بیشتر است.

بر طبق گزارش‌ها، گروه‌های عاملی پلی‌ساقاریدها مانند گروه سولفات‌های فعالیت ضداکسیدانی این ترکیبات تاثیر قابل توجهی دارد. بر این اساس میزان سولفات‌های فراکسیون‌های مختلف فوکوئیدان جلبک *N. zanardinii* مورد اندازه‌گیری قرار گرفت که مقادیر متنوعی از ۶/۴۹ تا ۲۵/۰۳ درصد را نشان داد. این میزان در مقایسه با محتواهای سولفات موجود در فوکوئیدان جلبک *Ascophyllum nodosum* (بین ۶/۱۰ تا ۳۹/۳۳ درصد) به میزان مشابهی بوده است [۳۴]. وزن مولکولی فراکسیون‌های فوکوئیدان در مطالعه حاضر بین ۱۰/۴۱۱ تا ۶۲/۶۳۱ کیلو Dalton متغیر بود. در پژوهشی که بر روی جلبک *N. zanardinii* انجام گرفت وزن مولکولی فوکوئیدان خام استخراج شده با حلال آبی ۱۲۵/۴ کیلو Dalton نیز گزارش شد که نشان می‌دهد نوع گونه جلبکی، شرایط رشد و نوع روش استخراج اثر زیادی بر وزن مولکولی پلی‌ساقاریدها دارد [۷]. یافته‌های بالا بیانگر آن است که در این گونه می‌توان به منظور دستیابی به فوکوئیدان‌هایی با ترکیب شیمیایی، ویژگی‌های مولکولی و رنگ متفاوت از سطوح مختلف اثanol جهت بازیابی پس از استخراج استفاده نمود.

فعالیت ضداکسایشی فوکوئیدان مانند سایر ترکیبات دارای خواص مشابه، شامل مکانیسم‌های متنوعی است؛ از جمله مهار رادیکال‌های آزاد، فعال یا مسدودسازی مسیرهای آنزیمی مرتبط با استرس اکسیداتیو و اتصال به یون‌های فلزی. به منظور مقایسه نتایج حاصل از آزمایش‌های ضداکسایشی مختلف و سنجش اعتبار آنها، نیاز به یک آزمایش استاندارد می‌باشد. ارزیابی قابلیت مهار رادیکال آزاد ناپایدار DPPH روشی است که به عنوان شاخصی برای بررسی عملکرد ترکیبات ضداکسایشی اهداف‌گردنده هیدروژن استفاده می‌شود و طی این واکنش DPPH یک اتم هیدروژن دریافت کرده و رنگ بنفش خود را از دست می‌دهد [۳۵، ۳۶]. در مطالعه پیشین بر روی جلبک *N. zanardinii* درصد مهارکنندگی فوکوئیدان خام استخراج شده با حلال آبی در غلظت ۱ میلی‌گرم / میلی‌لیتر ۶۳/۴۱ درصد گزارش شد که پایین‌تر از مقادیر مطالعه حاضر می‌باشد [۳۷]. استفاده از رادیکال آزاد ABTS روشی دیگر است که به طور گسترده جهت ارزیابی فعالیت ضداکسایشی استفاده می‌شود. مولکول بی‌رنگ ABTS به واسطه اکسیدان‌های مختلف نظیر پتاسیم پرسولفات به رادیکال<sup>+</sup> ABTS<sup>·</sup> تبدیل شده و رنگ سبز آبی به خود می‌گیرد [۳۸]. در این آزمایش شدت بی‌رنگ شدن محلول که ناشی از حضور ضداکسیدان می‌باشد، میزان مهار رادیکال ABTS را نشان می‌دهد [۲۸]. در پژوهشی که اخیراً بر روی فوکوئیدان جلبک *N. zanardinii* انجام شد قدرت مهارکنندگی این رادیکال توسط فوکوئیدان خام و سایر فراکسیون‌ها در محدوده ۱/۵ تا ۸۸/۴۰ درصد گزارش شده است، در پژوهش حاضر این بازه بین ۵/۰۵ تا ۲۵/۱۰ درصد مشاهده شد که بیانگر قدرت مهارکنندگی بیشتر در تمامی غلظت‌ها است [۳۷]. مقایسه عملکرد مهارکنندگی رادیکال آزاد DPPH و ABTS در مطالعه ذکر شده و مطالعه حاضر نشان می‌دهد که هر چند گونه مورد استفاده در هر دو پژوهش یکسان بوده‌اند اما روش استخراج بر روی خواص ضداکسایشی فوکوئیدان‌های استخراج شده تاثیر

قابل توجهی داشته است. ارزیابی کاهندگی آهن، آزمونی است که به طور گسترده جهت اندازه‌گیری فعالیت ضداسایشی به کار می‌رود و در طی آن حضور عوامل کاهنده در حال باعث احیای کمپلکس  $\text{Fe}^{3+}/\text{Fe}^{2+}$  / فری‌سیانید به  $\text{Fe}^{2+}$  / فروس می‌شود. قدرت احیاکنندگی در حقیقت توانایی الکترون‌دهی یک ترکیب ضداسایشی را نشان می‌دهد. از آنجایی که یون آهن به عنوان یک ترکیب حد واسط در مسیر اکسیداسیون چربی‌ها حضور دارد، ترکیباتی با توانایی احیای یون آهن در واقع به فعالیت ضداسایشی درون سلول کمک می‌کنند و با شکستن زنجیره واکنش به عنوان آنتی‌اکسیدان اولیه و ثانویه عمل می‌کنند [۳۹، ۴۰]. در مطالعه حاضر فراکسیون‌های مختلف فوکوئیدان اگرچه دارای پتانسیل احیاکنندگی یون آهن بودند ولی با یکدیگر تفاوت معنی‌داری از نظر سطح فعالیت نداشتند.

از رابطه ویژگی‌های ساختاری و مولکولی نیز در مطالعه حاضر بیانگر آن است که وزن‌های مولکولی پایین‌تر که دارای سولفات بیشتری نیز می‌باشند از نظر قابلیت اهدای الکترون و مهار رادیکال‌های آزاد دارای پتانسیل بیشتری می‌باشند. البته، در مهار رادیکال آزاد ABTS میزان مهارکنندگی فراکسیون با وزن مولکولی بیشتر و سولفات کمتر به میزان قابل توجهی بیشتر از فراکسیون‌های دیگر بود که این خود می‌تواند به دلیل حضور رنگدانه‌ها و ترکیبات احتمالی فنولی متصل به آن باشد که این خود نیازمند آزمایشات دقیق‌تری است. در ارتباط با همین گونه، مطالعه پیشین گروه حاضر نشان داد که فوکوئیدان استخراج شده با حلال آبی در شرایط یکسان که به صورت یکجا بوسیله اتانول ۷۰ درصد بازیابی شده است و حاوی کلیه پلیمرها با وزن‌های مولکولی مختلف است دارای فعالیت ضداسایشی قابل توجه اما کمتری نسبت به مطالعه کنونی می‌باشد [۳۷]. همچنین، کاهش وزن مولکولی در شرایط دمایی و اسیدی مختلف در این فوکوئیدان از ۹۵۶ کیلوالتون در فوکوئیدان مادر به ۴۱۱ کیلوالتون در هیدرولیز به دست آمده توانست مهار رادیکال‌های آزاد DPPH و ABTS را به ترتیب تا  $84/5$  و  $88/5$  درصد افزایش دهد [۳۷]. در مطالعه‌ای مشابه که بر روی هیدرولیز اسیدی فوکوئیدان جلبک *Padina pavonica* نیز صورت گرفت کاهش وزن مولکولی از ۳۷۸۱ کیلوالتون تا ۲۰۵۹ کیلوالتون سبب افزایش چشمگیر قابلیت مهار رادیکال آزاد DPPH و کاهش یون  $\text{Fe}^{3+}$  به ترتیب تا  $47/9$  درصد و جذب  $47/0$  شد [۴۱]. یافته‌ها بیانگر این است که کاهش وزن مولکولی و افزایش سولفات‌های تواند با بالا بردن دسترسی گروه‌های عاملی به رادیکال‌های آزاد و یون‌های فلزی سبب تسهیل فرآیند الکترون‌دهندگی و در نتیجه توقف واکنش‌های اکسیداسیونی شود.

## نتیجه‌گیری

نتایج به دست آمده در این تحقیق نشان داد که با استفاده از رسوب‌دهی پله‌ای فوکوئیدان پس از استخراج آبی می‌توان پلیمرهای فوکوئیدانی با ویژگی‌های مختلف شیمیایی و مولکولی به دست آورد. همچنین، تمامی فراکسیون‌های فوکوئیدان جلبک *Padina pavonica* در سطح *N. zanardinii* در مطالعه قابل قبولی واجد فعالیت ضداسایشی هستند و همگی در غلظت ۱ میلی‌گرم / میلی‌لیتر بیشترین پتانسیل ضداسایشی را در هر سه سنجش مهار رادیکال آزاد ABTS، DPPH و احیای یون  $\text{Fe}^{3+}$  نشان دادند. بنابراین، رسوب‌دهی پله‌ای فوکوئیدان توانست پلیمرهایی تولید نماید که روی مهار واکنش‌های ضداسایشی اثر مثبتی نشان دهند. به طور کلی با مقایسه نتایج پژوهش حاضر و مطالعات قبلی می‌توان اظهار داشت که وزن مولکولی، فعالیت زیستی و رنگ فوکوئیدان‌ها به طور قابل توجهی با نوع گونه و روش استخراج مرتبط است. از آنجا که در فرآیند استخراج مطالعه حاضر، به جز جلبک بومی ایران سایر مواد شامل آب‌مقطار، استون، اتانول و کلسیم کلراید است که به راحتی در دسترس می‌باشند؛ می‌توان روش استخراج رسوب‌دهی پله‌ای را جهت تولید فراکسیون‌های اثربخش فوکوئیدان بدون انجام فرآیندهای طولانی و هزینه بر در مقیاس صنعتی پیشنهاد نمود. همچنین با توجه به این نکته که نتایج پژوهش حاضر نشان داد وزن مولکولی پایین لزوماً ارتباط مستقیمی با افزایش خواص ضداسایشی ندارد، بررسی اثر این روش استخراج بر سایر ویژگی‌های فوکوئیدان گونه *N. zanardinii* و یا مقایسه این روش استخراج در سایر گونه‌های مورد استفاده در صنعت می‌تواند برای مطالعات آینده جالب توجه باشد.

## منابع

1. Iso H. Lifestyle and cardiovascular disease in Japan. *Journal of atherosclerosis and thrombosis*. 2011; 1102040343.
2. Leal MC, Munro MH, Blunt JW, Puga J, Jesus B, Calado R, Rosa R, Madeira C. Biogeography and biodiscovery hotspots of macroalgal marine natural products. *Natural product reports*. 2013; 30(11): 1380-90.
3. McHugh DJ. Production, properties and uses of alginates. *Production and Utilization of Products from Commercial Seaweeds*. FAO. Fish. Tech. Pap. 1987; 288: 58-115.
4. Tseng CK. Algal biotechnology industries and research activities in China. *Journal of Applied Phycology*. 2001; 13(4): 375-80.
5. Holdt SL, Kraan S. Bioactive compounds in seaweed: functional food applications and legislation. *Journal of applied phycology*. 2011; 23(3): 543-97.
6. Gharanjik BM, Rohani Ghadikolaei K. *Atlas of the sea algae of the Persian Gulf and Oman sea coasts*. Fisheries Research Publication. 2009.
7. Tabarsa M, Dabaghian EH, You S, Yelithao K, Cao R, Rezaei M, Alboofetileh M, Bita S. The activation of NF-κB and MAPKs signaling pathways of RAW264.7 murine macrophages and natural killer cells by fucoidan from *Nizamuddinia zanardinii*. *International Journal of Biological Macromolecules*. 2020; 148: 56-67.
8. Kylin H. Biochemistry of sea algae. *HZ Physiol. Chem.* 1913; 83: 171–197.
9. Hosseinpouri A, Mohammadi M, Obeidi N. Fucoidan, Multifunctional Polysaccharide. *Journal of Fasa University of Medical Sciences*. 2019; 9(2).
10. Li B, Zhao RX, Wei XJ. Anticoagulant activity of fucoidan from *Hizikia fusiforme*. *Agro Food Industry Hi-Tech*. 2008; 19(1): 22.
11. Fan L, Tongchun T, Yanchun S, Yang L, Shaolun Z. Study on anti-virus effect of fucoidan in vitro. *Baiqiu Yike Daxue Xuebao*. 1995; 21(3): 255-7.
12. Cumashi A, Ushakova NA, Preobrazhenskaya ME, D'Incecco A, Piccoli A, Totani L, Tinari N, Morozovich GE, Berman AE, Bilan MI, Usov AI. A comparative study of the anti-inflammatory, anticoagulant, antiangiogenic, and antiadhesive activities of nine different fucoidans from brown seaweeds. *Glycobiology*. 2007; 17(5): 541-52.
13. Qu G, Liu X, Wang D, Yuan YI, Han L. Isolation and characterization of fucoidans from five brown algae and evaluation of their antioxidant activity. *Journal of Ocean University of China*. 2014; 13(5): 851-6.
14. Kwak JY. Fucoidan as a marine anticancer agent in preclinical development. *Marine drugs*. 2014; 12(2): 851-70.
15. Xue M, Tian Y, Sui Y, Zhao H, Gao H, Liang H, Qiu X, Sun Z, Zhang Y, Qin Y. Protective effect of fucoidan against iron overload and ferroptosis-induced liver injury in rats exposed to alcohol. *Biomedicine & Pharmacotherapy*. 2022; 153:113402.

16. Andrade EL, Bento AF, Cavalli J, Oliveira SK, Freitas CS, Marcon R, Schwanke RC, Siqueira JM, Calixto JB. Non-clinical studies required for new drug development-Part I: early in silico and in vitro studies, new target discovery and validation, proof of principles and robustness of animal studies. Brazilian Journal of Medical and Biological Research. 2016; 49.
17. Blomhoff R. Dietary antioxidants and cardiovascular disease. Current opinion in lipidology. 2005; 16(1): 47-54.
18. Alboofetileh M, Rezaei M, Tabarsa M, Rittà M, Donalisio M, Mariatti F, You S, Lembo D, Cravotto G. Effect of different non-conventional extraction methods on the antibacterial and antiviral activity of fucoidans extracted from *Nizamuddinia zanardinii*. International journal of biological macromolecules. 2019; 124:131-7.
19. Dobrinčić A, Balbino S, Zorić Z, Pedisić S, Bursać Kovačević D, Elez Garofulić I, Dragović-Uzelac V. Advanced technologies for the extraction of marine brown algal polysaccharides. Marine drugs. 2020; 18(3):168.
20. Zayed A, Ulber R. Fucoidans: Downstream processes and recent applications. Marine drugs. 2020; 18(3):170.
21. Gan A, Baroutian S. Subcritical water extraction for recovery of phenolics and fucoidan from New Zealand Wakame (*Undaria pinnatifida*) seaweed. The Journal of Supercritical Fluids. 2022; 190:105732.
22. Karnjanapratum S, Tabarsa M, Cho M, You S. Characterization and immunomodulatory activities of sulfated polysaccharides from *Capsosiphon fulvescens*. International journal of biological macromolecules. 2012; 51(5): 720-9.
23. Yang, C, Chung D, Shin I.S, Lee H, Kim J, Lee Y, & You S. Effects of molecular weight and hydrolysis conditions on anticancer activity of fucoidans from sporophyll of *Undaria pinnatifida*. International Journal of Biological Macromolecules. 2008; 43(5), 433–437.
24. Dodgson KS, Price RG. A note on the determination of the ester sulphate content of sulphated polysaccharides. Biochemical Journal. 1962; 84(1): 106.
25. You S, Lim ST. Molecular characterization of corn starch using an aqueous HPSEC-MALLS-RI system under various dissolution and analytical conditions. Cereal chemistry. 2000; 77(3): 303-8.
26. Brand-Williams W, Cuvelier ME, Berset CL. Use of a free radical method to evaluate antioxidant activity. LWT-Food Science and Technology. 1995; 28(1): 25-30.
27. Borazjani NJ, Tabarsa M, You S, Rezaei M. Effects of extraction methods on molecular characteristics, antioxidant properties and immunomodulation of alginates from *Sargassum angustifolium*. International journal of biological macromolecules. 2017; 101: 703-11.
28. Re R, Pellegrini N, Proteggente A, Pannala A, Yang M, Rice-Evans C. Antioxidant activity applying an improved ABTS radical cation decolorization assay. Free radical biology and medicine. 1999; 26(9-10): 1231-7.

29. Oyaizu M. Studies on Products of Browning Reactions: Antioxidative Activities of Product of Browning Reaction Prepared from Glucosamine. *Japan Journal of Nutrition*. 1986; 44: 307-315.
30. Wijesinghe WA, Jeon YJ. Biological activities and potential industrial applications of fucose rich sulfated polysaccharides and fucoidans isolated from brown seaweeds: A review. *Carbohydrate Polymers*. 2012; 88(1): 13-20.
31. Bahramzadeh S, Tabarsa M, You S, Li C, Bita S. Purification, structural analysis and mechanism of murine macrophage cell activation by sulfated polysaccharides from *Cystoseira indica*. *Carbohydrate polymers*. 2019; 205: 261-70.
32. Lee SH, Ko CI, Ahn G, You S, Kim JS, Heu MS, Kim J, Jee Y, Jeon YJ. Molecular characteristics and anti-inflammatory activity of the fucoidan extracted from *Ecklonia cava*. *Carbohydrate polymers*. 2012; 89(2): 599-606.
33. Alboofetileh M, Jeddi S. Extraction process of sulfate polysaccharide (fucoidan) from brown seaweeds. *Advanced Aquaculture Sciences Journal*. 2022; 6(1):23-33.
34. Yuan Y, Macquarrie D. Microwave assisted extraction of sulfated polysaccharides (fucoidan) from *Ascophyllum nodosum* and its antioxidant activity. *Carbohydrate polymers*. 2015; 129: 101-7.
35. Kumar SP, Kekuda TP, Vinayaka KS, Sudharshan SJ. Anthelmintic and antioxidant efficacy of two macrolichens of Ramalinaceae. *Pharmacognosy Journal*. 2009; 1(4): 238-42.
36. Molyneux P. The use of the stable free radical diphenylpicrylhydrazyl (DPPH) for estimating antioxidant activity. *Songkla Nakarin Journal of Science and Technology (SJST)*. 2004; 26(2): 211-9.
37. Mousavi NS, Tabarsa M, Ahmadi H. Evaluation of relationship between molecular weight and antioxidant properties of hydrolyzed fucoidan from brown seaweed *Nizamuddinia zanardinii*. *Fisheries Science and Technology*. 2022; 11(2): 153-64.
38. Erel O. A novel automated direct measurement method for total antioxidant capacity using a new generation, more stable ABTS radical cation. *Clinical biochemistry*. 2004; 37(4): 277-85.
39. Chandini SK, Ganesan P, Bhaskar N. In vitro antioxidant activities of three selected brown seaweeds of India. *Food chemistry*. 2008; 107(2): 707-13.
40. Hong-Yu L, Bin W, Chun-Guang Y, You-le Q, Chuan-ling S. Evaluation of antioxidant activities of five selected brown seaweeds from China. *Journal of Medicinal Plants Research*. 2010; 4(23): 2557-65.
41. Khajavi S, Tabarsa M, Ahmadi Gavighi H, Rezaie M. Relationship evaluation of molecular weight and antioxidant and alpha amylase inhibition properties of fucoidan and alginate from brown seaweed *Padina pavonica* in comparison with polysaccharides from Flixweed and Fennel. *Fisheries Science and Technology*. 2021; 10(1): 31-45.

## Evaluation of stepwise precipitation of fucoidan from brown seaweed *Nizamuddinia zanardinii* on its chemical, molecular and antioxidant properties

Masoumeh Ghanbari Kiasara<sup>1</sup>, Mehdi Tabarsa<sup>2\*</sup>, Hassan Ahmadi Gavlighi<sup>3</sup>, Amin Mokhlesi<sup>4</sup>

1- Department of Marine Biology, Tarbiat Modares University, Nur, Iran

2- Department of Seafood Processing, Tarbiat Modares University, Nur, Iran

3- Department of Food Science and Technology, Tarbiat Modares University, Tehran, Iran

4- Institute of Pharmaceutical Biology and Biotechnology, Heinrich Heine University, Dusseldorf, Germany

### ABSTRACT

The aim of the current study was the evaluation of stepwise precipitation of fucoidan extracted from seaweed *Nizamuddinia zanardinii* and the assessment of relationship between sulfate content and molecular weight with its antioxidant activity. After the removal of pigments and low molecular weight compounds, fucoidan extracted with water was precipitated using different concentrations of ethanol at three levels (30, 50 and 70%). Three fractions of Fuc30, Fuc50 and Fuc70 showed molecular weights of 731.62, 655.76 and  $10.41 \times 10^3$  g/mol, respectively. The content of sulfate esters in the obtained fractions were measured between 6.49-25.03%. The color evaluation of produced fucoidans by a digital chroma meter indicated the highest lightness index for Fuc50 fraction. Antioxidant results were varying in DPPH radical (43.93-89.40%) and ABTS radical (25.05-96.10%) scavenging activities as well as  $\text{Fe}^{3+}$  reducing power (Abs of 0.142-0.259). Overall, the findings of the present study indicated that stepwise precipitation of fucoidan from *N. zanardinii* leads to production of fractions with different chemical and molecular weight characteristics and antioxidant activities. Besides, although all isolated fucoidan fractions are introduced as potent antioxidant compounds, but in ABTS radical scavenging activities and  $\text{Fe}^{3+}$  reducing power, polymers possessing higher molecular weigh (Fuc30) exert higher antioxidant activities.

### ARTICLE TYPE

Original Research

### ARTICLE HISTORY

Received: 11 Aug 2022

Accepted: 6 Dec 2022

ePublished: 21 Dec 2022

**KEYWORDS:** Fucoidan, *Nizamuddinia zanardinii*, Extraction, Molecular Weight, Antioxidant

\* Corresponding Author:

Email address: m.tabarsa@modares.ac.ir

© Published by Tarbiat Modares University